

## ПРОИЗВОЛЬНОЕ ДВИЖЕНИЕ ПРОДОЛГОВАТОГО ТЕЛА В ИДЕАЛЬНОЙ ЖИДКОСТИ

Л. А. МАСЛОВ

*(Москва)*

Рассматривается метод, позволяющий при помощи электронной вычислительной машины рассчитывать скорости жидкости на поверхности и присоединенные массы твердого тела, движущегося в идеальной жидкости. На случай произвольного тела распространен метод [1, 2], разработанный для тел вращения, в котором течение моделируется системой источников и стоков, непрерывно распределенных по поверхности тела. В отличие от аналогичной работы Эсса и Смита [3], где определялись скорости жидкости на поверхности произвольного тела при поступательных движениях, основное интегральное уравнение задачи в данном случае решается методом последовательных приближений без предварительной аппроксимации его системой линейных алгебраических уравнений большого порядка, что приводит к сокращению вычислений.

Результаты расчетов сравниваются с известными точными значениями скоростей и присоединенных масс для трехосного эллипсоида, а также с результатами экспериментального определения давлений на поверхности продолговатого тела.

**1. Основные соотношения.** Если  $V_1, V_2, V_3$  — проекции вектора поступательной скорости  $V$  полюса  $A$  твердого тела, а  $\Omega_1, \Omega_2, \Omega_3$  — проекции вектора угловой скорости  $\Omega$  на связанные с телом оси координат  $xuz$  (фиг. 1), то для потенциала возмущенных скоростей жидкости можно записать

$$\Phi(x, y, z, t) = \sum_{i=1}^6 V_i(t) \Phi_i(x, y, z)$$

Здесь введены обозначения ( $l$  — длина тела)

$$V_4 = l\Omega_1, \quad V_5 = l\Omega_2, \quad V_6 = l\Omega_3$$

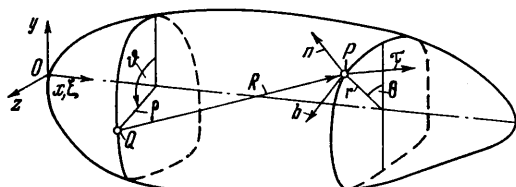
Для определения каждого из шести единичных потенциалов  $\Phi_i(x, y, z)$  требуется решить внешнюю задачу Неймана

$$\Delta \Phi_i = 0 \quad \frac{\partial \Phi_i}{\partial n} \Big|_S = \frac{V_i \cdot n}{V_i} \quad (i = 1, 2, \dots, 6) \quad (1.1)$$

с нулевыми условиями на бесконечности. Здесь  $V_i$  — скорость точек поверхности тела в соответствующем простом движении,  $S$  — поверхность, ограничивающая твердое тело,  $n$  — нормаль к поверхности  $S$ , направленная внутрь жидкости. Если решение искать в виде потенциала простого слоя

$$\Phi_i(P) = - \iint_S \mu_i(Q) \frac{dS}{R} \quad (1.2)$$

Фиг. 1



то граничное условие (1.1) приводится к интегральному уравнению Фредгольма второго рода относительно интенсивности слоя  $\mu$

$$2\pi\mu_i(P) + \iint_S \mu_i(Q) \frac{R \cdot n(P)}{R^3} dS = V_i(P) \cdot n(P) \quad (1.3)$$

где  $P$  — произвольная расчетная точка,  $Q$  — текущая точка поверхности  $S$ , вектор  $\mathbf{R} = \mathbf{QP}$ . Уравнение (1.3) имеет единственное решение, если поверхность  $S$  принадлежит к классу Ляпунова [4].

Продольная ось  $x$  декартовой системы координат  $xyz$  с ортами  $\mathbf{i}, \mathbf{j}, \mathbf{k}$  проводится между наиболее удаленными точками тела. Начало координат помещается в носке тела. Наряду с декартовой системой, рассматривается система цилиндрических координат  $x, r, \theta$  ( $y = r \cos \theta, z = r \sin \theta$ ). Расчетной точке  $P$  присваиваются координаты  $x, r, \theta$ , текущей точке  $Q$  — координаты  $\xi, \rho, \vartheta$ . Вектор

$$\mathbf{R} = (x - \xi) \mathbf{i} + (r \cos \theta - \rho \cos \vartheta) \mathbf{j} + (r \sin \theta - \rho \sin \vartheta) \mathbf{k}$$

Если полюс  $A$  выбрать на оси  $x$  на расстоянии  $x_A$  от носка тела, то для скорости точек поверхности тела при его произвольном движении можно записать

$$\begin{aligned} \mathbf{V} = & [V_5 r \sin \theta - V_6 r \cos \theta - V_1] \mathbf{i} + \\ & + [V_6 (x - x_A) - V_4 r \sin \theta - V_2] \mathbf{j} + [V_4 r \cos \theta - V_5 (x - x_A) - V_3] \mathbf{k} \end{aligned}$$

где линейные размеры отнесены к длине тела  $l$ , а положительными направлениями компонентов поступательной скорости считают направления, обратные направлениям осей  $x, y, z$  (фиг. 1).

Поверхность тела задается в виде зависимости

$$r = r(x, \theta) \quad (1.4)$$

Элемент поверхности  $S$  равен

$$dS = r \sqrt{1 + p^2 + q^2} dx d\theta, \quad p = \frac{\partial r}{\partial x}, \quad q = \frac{1}{r} \frac{\partial r}{\partial \theta} \quad (1.5)$$

В каждой точке поверхности тела вводится связанная с этой точкой система прямоугольных координат, единичные векторы которой равны

$$\mathbf{n} = [1 + p^2 + q^2]^{-1/2} [-p \mathbf{i} + (q \sin \theta + \cos \theta) \mathbf{j} - (q \cos \theta - \sin \theta) \mathbf{k}]$$

$$\begin{aligned} \mathbf{\tau} = & [(1 + p^2 + q^2)(1 + q^2)]^{-1/2} [(1 + q^2) \mathbf{i} + p (q \sin \theta + \cos \theta) \mathbf{j} - \\ & - p (q \cos \theta - \sin \theta) \mathbf{k}] \end{aligned}$$

$$\mathbf{b} = [1 + q^2]^{-1/2} [(q \cos \theta - \sin \theta) \mathbf{j} + (q \sin \theta + \cos \theta) \mathbf{k}]$$

При этом вектор  $\mathbf{n}$  — нормаль, вектор  $\mathbf{b}$  совпадает с линией пересечения касательной плоскости и поперечной плоскости  $x = \text{const}$ , вектор  $\mathbf{\tau}$  имеет положительную и не равную нулю проекцию на продольную ось  $x$ , в связи с чем проекции скорости на ось  $\mathbf{\tau}$  можно назвать продольными, на ось  $b$  — поперечными.

В связи с выбранной формой (1.4) и (1.5) представления поверхности на нее накладываются ограничения. Так должны отсутствовать касательные к поверхности плоскости, перпендикулярные к оси  $x$  ( $p$  ограничено), кроме концевых точек, и касательные плоскости, проходящие через ось  $x$  ( $qr$  ограничено). В концевых точках, где  $r \rightarrow 0, qr$  ограничено, допускается  $p \rightarrow \infty$ , при условии ограниченности предела произведения  $pr$  в любом меридиональном сечении  $\theta = \text{const}$ . Геометрически это значит, что плоскости, проведенные через концевые точки перпендикулярно к оси  $x$ , имеют с поверхностью тела лишь одну точку касания — концевую. Вообще говоря, поверхность большинства применяемых тел удовлетворяет указанным требованиям.

Вместо интенсивности простого слоя  $\mu_i$  в каждом простом движении вводятся новые функции  $g_i$ , связанные с  $\mu_i$  соотношениями

$$g_i = 2\pi r \sqrt{1 + p^2 + q^2} \mu_i / V_i \quad (i = 1, 2, \dots, 6)$$

После элементарных преобразований интегральное уравнение (1.3) для каждого простого движения приводится к виду

$$g_i(x, \theta) = f_{i0}(x, \theta) - \int_0^{2\pi} g_i(\xi, \vartheta) K_0(x, \theta, \xi, \vartheta) d\xi d\vartheta \quad (1.6)$$

где  $K_0$  — ядро уравнений, не зависящее от типа движения

$$K_0 = \frac{r [r - p(x - \xi) - \rho \cos(\theta - \vartheta) - q \rho \sin(\theta - \vartheta)]}{2\pi [(x - \xi)^2 + r^2 + \rho^2 - 2r\rho \cos(\theta - \vartheta)]^{3/2}}$$

а для известных функций  $f_{i0}(x, \theta)$  введены обозначения

$$\begin{aligned} f_{10} &= pr, \quad f_{20} = -r(q \sin \theta + \cos \theta), \quad f_{30} = r(q \cos \theta - \sin \theta) \\ f_{40} &= -qr^2, \quad f_{50} = r[q(x - x_A) \cos \theta - (pr + x - x_A) \sin \theta] \\ f_{60} &= r[q(x - x_A) \sin \theta + (pr + x - x_A) \cos \theta] \end{aligned} \quad (1.7)$$

На конце тела, при стремлении  $x$  к нулю или единице, уравнение (1.6) упрощается. Например, для  $x = 1$  можно записать

$$g_i(1, \theta) = \lim_{x \rightarrow 1} (pr) \left\{ C_{i0} + \int_0^{2\pi} g_i(\xi, \vartheta) \frac{(1 - \xi) d\xi d\vartheta}{2\pi [(1 - \xi)^2 + \rho^2]^{3/2}} \right\} \quad (1.8)$$

где  $C_{10} = 1$ , остальные  $C_{i0}$  ( $i = 2, 3, \dots, 6$ ) равны нулю. Для  $x = 0$  под интегралом в (1.8) достаточно заменить единицу на нуль.

Скорости жидкости относительно поверхности тела при произвольном движении представляются в виде

$$\mathbf{U}(x, \theta, t) = \sum_{i=1}^6 V_i(t) [u_{it}(x, \theta) \mathbf{\tau} + u_{ib}(x, \theta) \mathbf{b}]$$

где для безразмерных относительных скоростей получены выражения

$$\begin{aligned} u_{it}(x, \theta) &= [(1 + p^2 + q^2)(1 + q^2)]^{-1/2} \times \\ &\times \left[ f_{i1}(x, \theta) + \int_0^{2\pi} g_i(\xi, \vartheta) K_1(x, \theta, \xi, \vartheta) d\xi d\vartheta \right] \\ u_{ib}(x, \theta) &= [1 + q^2]^{-1/2} \left[ f_{i2}(x, \theta) + \int_0^{2\pi} g_i(\xi, \vartheta) K_2(x, \theta, \xi, \vartheta) d\xi d\vartheta \right] \quad (1.9) \end{aligned}$$

$$K_1 = \frac{(1 + q^2)(x - \xi) + p[r - \rho \cos(\theta - \vartheta) - q \rho \sin(\theta - \vartheta)]}{2\pi [(x - \xi)^2 + r^2 + \rho^2 - 2r\rho \cos(\theta - \vartheta)]^{3/2}}$$

$$K_2 = \frac{q[r - \rho \cos(\theta - \vartheta)] + \rho \sin(\theta - \vartheta)}{2\pi [(x - \xi)^2 + r^2 + \rho^2 - 2r\rho \cos(\theta - \vartheta)]^{3/2}}$$

$$f_{11} = 1 + q^2, \quad f_{21} = p(\cos \theta + q \sin \theta), \quad f_{31} = p(\sin \theta - q \cos \theta)$$

$$f_{41} = pqr, \quad f_{51} = p(\sin \theta - q \cos \theta)(x - x_A) - (1 + q^2)r \sin \theta \\ f_{61} = -p(\cos \theta + q \sin \theta)(x - x_A) + (1 + q^2)r \cos \theta$$

$$f_{12} = 0, \quad f_{22} = q \cos \theta - \sin \theta, \quad f_{32} = q \sin \theta + \cos \theta, \quad f_{42} = -r$$

$$f_{52} = (\cos \theta + q \sin \theta)(x - x_A), \quad f_{62} = (\sin \theta - q \cos \theta)(x - x_A)$$

Для единичных потенциалов возмущенных скоростей получены формулы

$$\Phi_i(x, \theta) = -l \int_0^{2\pi} \frac{g_i(\xi, \theta) d\xi d\theta}{2\pi [(x - \xi)^2 + r^2 + p^2 - 2rp \cos(\theta - \theta)]^{1/2}} \quad (1.10)$$

Для концевых точек тела формулы относительных скоростей и единичных потенциалов упрощаются аналогично (1.8).

Известные выражения для коэффициентов присоединенных масс

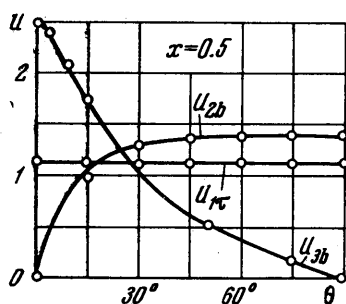
$$\lambda_{ij} = -\rho_0 \iint_s \Phi_i \frac{\partial \Phi_j}{\partial n} dS$$

при длине тела  $l = 1$  приводятся к виду

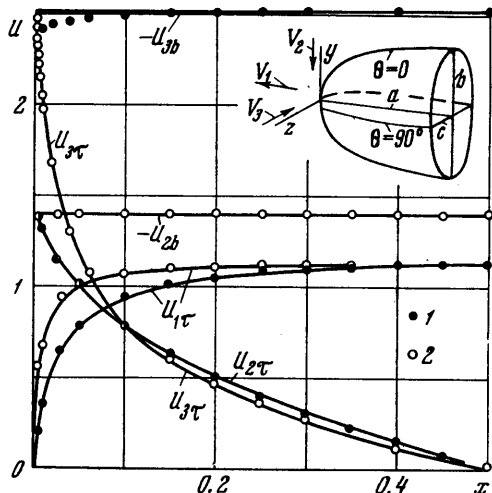
$$\lambda_{ij} = -\rho_0 \int_0^{2\pi} f_{i0}(x, \theta) \Phi_j(x, \theta) dx d\theta \quad (i, j = 1, 2, \dots, 6) \quad (1.11)$$

где  $\rho_0$  — массовая плотность жидкости,  $f_{i0}(x, \theta)$  определяются (1.7).

2. Методы вычислений. Определение решения  $g_i(x, \theta)$  интегральных уравнений (1.6) осуществляется в конечном числе дискретных расчетных точек поверхности тела. Так, при составлении программы для машины, по которой выполнялись примеры расчетов, на половине тела, имеющего плоскость симметрии  $x Oy$ , обеспечен выбор 24 расчетных поперечных сечений  $x_i = \text{const}$  через произвольные промежутки оси  $x$  и 13 расчетных меридиональных сечений  $\theta_j = \text{const}$  — через произвольные промежутки угла  $\theta$ , начиная от  $\theta = 0$  и кончая  $\theta = 180^\circ$ . Расчетными являются точки пересечения указанных поперечных и меридиональных сечений на поверхности. Таким образом, число расчетных точек в рассматриваемых примерах, включая две концевые, равнялось 314.



Фиг. 2



Фиг. 3

Информация о теле задавалась таблицей радиусов  $r$  в расчетных точках, таблицами продольных координат поперечных сечений и угловых координат расчетных меридианов. Частные производные (1.5) вычислялись при помощи формул Ньютона по значениям  $r$  в трех расчетных точках [5].

Интегральные уравнения решаются методом последовательных приближений по схеме для  $i = 1$

$$g_{10} = \frac{1}{2} f_{10}, \quad g_{1n} = f_{10} - \iint g_{1, n-1} K_0 d\xi d\theta, \quad g_{1n} = \frac{1}{2} (g_{1n}^* + g_{1, n-1})$$

для  $i = 2, 3, \dots, 6$

$$g_{i0} = f_{i0}, \quad g_{in} = f_{i0} - \iint g_{i, n-1} K_0 d\xi d\theta$$

Итерации продолжаются до тех пор, пока

$$\|g_{in}(x, \theta) - g_{i, n-1}(x, \theta)\|_{\max} \geq 0.015 |g_{in}|_{\max}$$

т. е. граничные условия выполняются с точностью 1.5%.

Двойные сходящиеся несобственные интегралы в (1.6) — (1.10) вычисляются при помощи двух замен переменных

$$h(\xi) = \operatorname{sgn}(\xi - x) \left( \frac{|x - \xi|}{|x - \xi| + 0.5} \right)^{1/2}, \quad \psi(\vartheta) = \operatorname{sgn}(\vartheta - \theta) \left( \frac{|\theta - \vartheta|}{|\theta - \vartheta| + 0.25\pi} \right)^{1/2} \quad (2.1)$$

причем последняя используется лишь в прямоугольнике  $|x - \xi| \leq 0.05$ ,  $|\theta - \vartheta| \leq 1/12\pi$ . При постоянном шаге новых переменных, равном в рассмотренных примерах  $\Delta h = 384^{-1/2}$  и  $\Delta\vartheta = 2^{-4}$ , замены (2.1) обеспечивают симметричное расположение узлов интегрирования относительно особенности при увеличении плотности узлов в ее окрестности, что соответствует условиям существования главного значения по Коши и позволяет вычислять несобственные интегралы по правилу трапеций с постоянным шагом новых переменных. Необходимые при этом промежуточные значения  $g(\xi, \vartheta)$  и  $g(\xi, \vartheta)$  между расчетными точками определяются двойной квадратичной интерполяцией по Ньютону [5].

Решение интегральных уравнений (1.6) при помощи аппроксимации системой линейных алгебраических, как это делается в работе [3], соответствовало бы решению в данном случае системы 314 порядка, что осуществить прямыми методами затруднительно, и приходится применять методы последовательных приближений. Кроме того, в методе [3] для получения координат каждой расчетной точки необходимо предварительно решить систему двух трансцендентных уравнений. В предлагаемом методе выбор расчетных точек произведен, и интегральное уравнение непосредственно решается методом последовательных приближений, что сокращает объем вычислений.

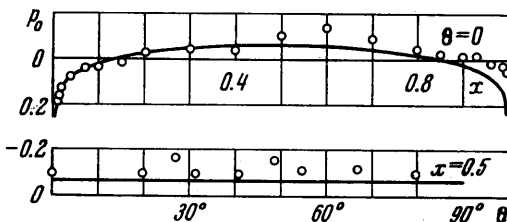
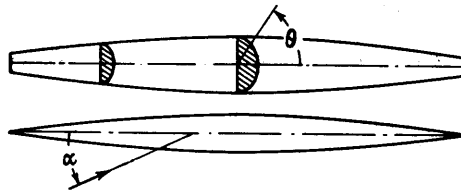
3. Примеры расчетов. Для проверки правильности изложенного метода на вычислительной машине «Минск-2» выполнены расчеты скоростей и присоединенных масс

трехсекционного эллипсоида с соотношением полуосей  $c : b : a = 1 : 2 : 4$ , для которого имеются точные аналитические выражения для скоростей и присоединенных масс в идеальной жидкости. Применимость излагаемого метода к расчету давлений на поверхности тела в реальной жидкости показана на примере расчета двугольника, т. е. крыла малого удлинения с сегментным профилем, с торцами, закругленными по радиусу, равному местной толщине тела. Экспериментальные значения давлений на поверхности этого тела при продольном и попечном обтекании получены в аэродинамической трубе при числе Рейнольдса  $R = Vl/v = 4.4 \cdot 10^6$ .

Сравнение точных значений относительных скоростей жидкости на поверхности эллипсоида при поступательных движениях вдоль трех его осей с результатами расчетов приведено на фиг. 2 и 3, где сплошными линиями показаны точные значения, точками — результаты расчетов по изложенной методике (точки 1 для  $\theta = 0$ , точки 2 — для  $\theta = 90^\circ$ ). Приводим результаты определения коэффициентов присоединенных масс этого же эллипсоида, и для сравнения приводим известные точные значения этих коэффициентов.

	$k_{11}$	$k_{22}$	$k_{33}$	$k_{44}$	$k_{55}$	$k_{66}$
Излагаемый метод	0.135	0.421	1.492	0.407	0.954	0.153
Точное значение	0.127	0.400	1.528	0.409	0.984	0.145

Совпадение результатов излагаемого метода и точных значений можно признать удовлетворительным. Максимальная погрешность, равная 6%, получена при расчетах коэффициента присоединенных масс  $k_{11}$  и значения поперечной скорости  $u_{zb}$  в точке  $x = 0$ . В остальных случаях точность излагаемого метода можно считать вполне достаточной. Приведенные результаты расчетов поступательных движений вдоль большой



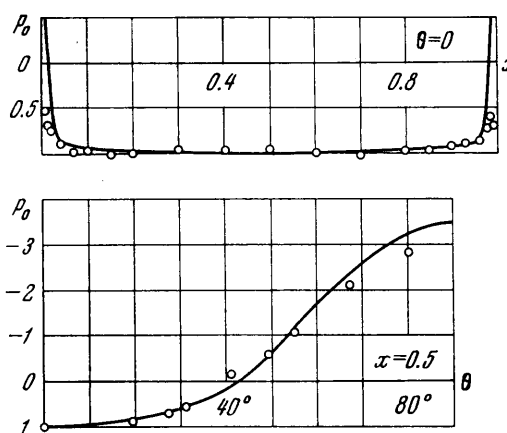
Фиг. 4

полуси  $a$  и средней  $b$  и вращения вокруг малой полуоси  $c$  этого эллипсоида получены при равномерном расположении расчетных меридианов (через  $15^\circ$ ) при незначительном уплотнении поперечных расчетных сечений вблизи концов. При расчетах поступательного движения вдоль малой полуоси  $c$  и вращений вокруг  $a$  и  $b$  плотность расположения расчетных меридианов вблизи  $\theta = 0$  и  $180^\circ$  несколько увеличена. Особенно чувствительной к расположению расчетных точек оказалась величина  $iz_b$  при  $\theta = 0$  в окрестности концевой точки  $x = 0$ , погрешность определения которой при равномерном расположении расчетных поперечных и меридиональных сечений на данном эллипсоиде достигла 12%. Действительно, в окрестности  $x = 0$  и  $\theta = 0$  при движении вдоль малой полуоси имеется значительный градиент скорости как по  $x$ , так и по  $\theta$  (фиг. 2 и 3), обусловленный наибольшей кривизной поверхности в этом районе. При дискретном представлении величин с достаточной точностью в таких случаях требуется увеличить плотность расчетных точек. Так, уплотнение поперечных и меридиональных расчетных сечений в окрестности  $x = 0$  и  $\theta = 0$  привело к снижению погрешности определения  $iz_b$  в этой точке вдвое.

Сравнение результатов расчетов с данными эксперимента приведено на фиг. 4 для продольного ( $\alpha = 0$ ) и на фиг. 5 для поперечного ( $\alpha = 90^\circ$ ) обтекания двуугольника. Сплошными линиями построены результаты расчета, точками — экспериментальные значения коэффициента давления  $p_0$  на поверхности модели. Эскиз двуугольника приведен на фиг. 4.

Совпадение расчетных и экспериментальных данных можно признать удовлетворительным. Расхождение результатов расчета и эксперимента в кормовом конце тела при продольном обтекании  $x > 0.85$  на фиг. 4, по-видимому, обусловлено влиянием вязкости жидкости, не учитываемой в расчете. По этой же причине сравнение результатов эксперимента и расчета при поперечном обтекании (фиг. 5) проведено лишь для наружной стороны модели ( $\theta = 0 \div 90^\circ$ ). На подветренной стороне модели при поперечном обтекании реальной жидкостью образуется значительная срывная зона, что не соответствует условиям расчета.

Фиг. 5



Поступило 20 VI 1966

## ЛИТЕРАТУРА

1. V andrey F. A method for calculating the pressure distribution of a body of revolution moving in a circular path through a perfect incompressible fluid. ARC, R & M. 1960, No 3139
2. М а с л о в Л. А. Использование одного метода определения потенциала скоростей обтекания тела вращения идеальной жидкостью для расчета присоединенных масс. Инж. ж., 1965, т. 5, № 4.
3. Hess J., Smith A. Calculation of nonlifting potential flow about arbitrary three-dimensional bodies, J. Ship. Res. 1964, vol. 8, No 2
4. М и х л и н С. Г. Лекции по линейным интегральным уравнениям. Физматгиз, 1959.
5. Б е р е з и н И. С., Ж и д к о в Н. П. Методы вычислений, т. I. Физматгиз, 1959.